

INÍCIO DA MONÇÃO DA AMÉRICA DO SUL EM UMA SIMULAÇÃO CLIMÁTICA COM O MCGA CPTEC/COLA

Iracema F.A. Cavalcanti

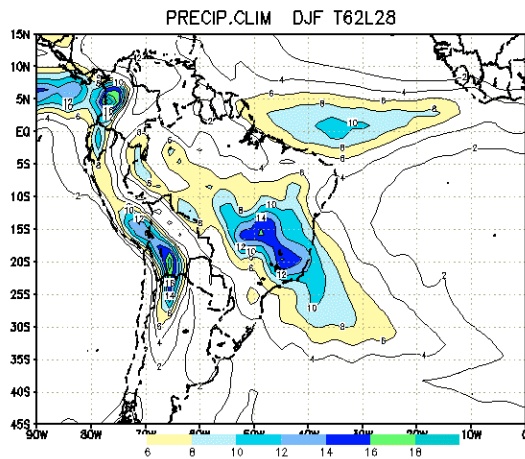
Adma Raia

**Centro de Previsão de Tempo e Estudos Climáticos/
Instituto Nacional de Pesquisas Espaciais**

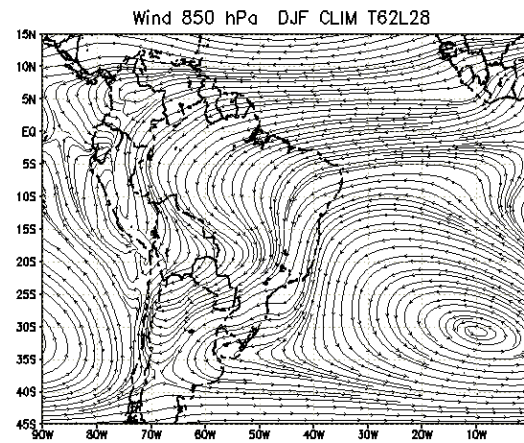
CARACTERÍSTICAS DE MONÇÃO AGCM CPTEC/COLA (1982-1991)

DJF

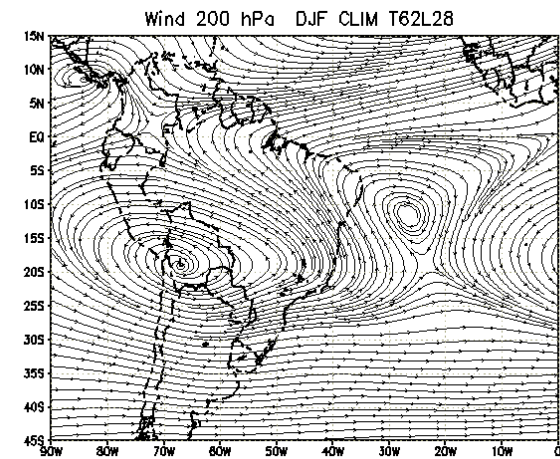
PRECIPITAÇÃO



850 hPa

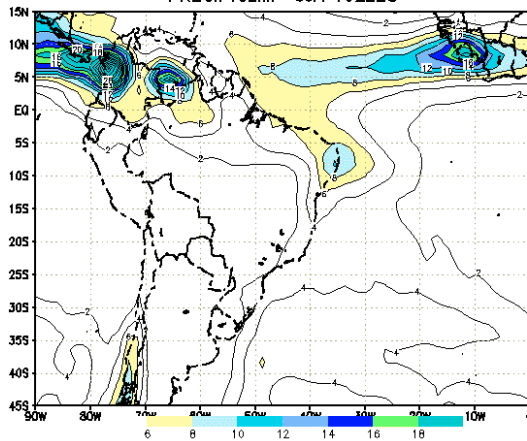


200 hPa

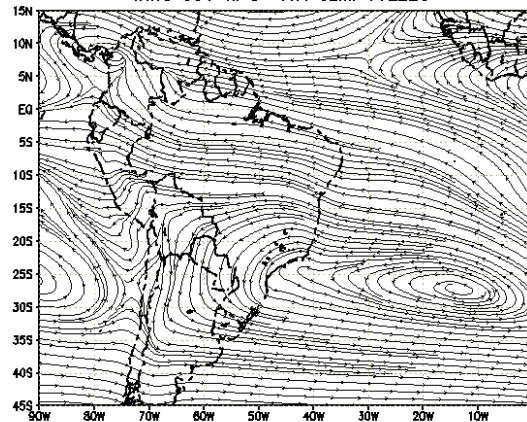


JJA

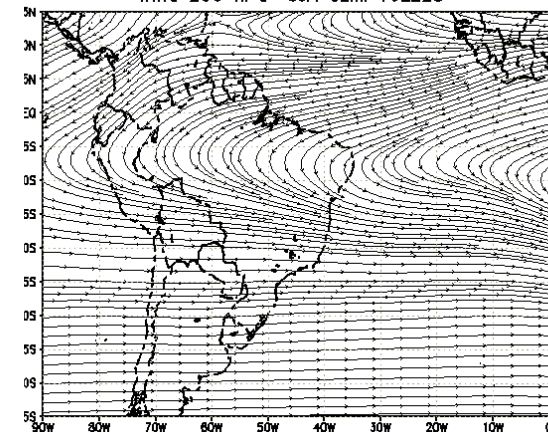
PRECIP.CLIM JJA T62L28



Wind 850 hPa JJA CLIM T62L28

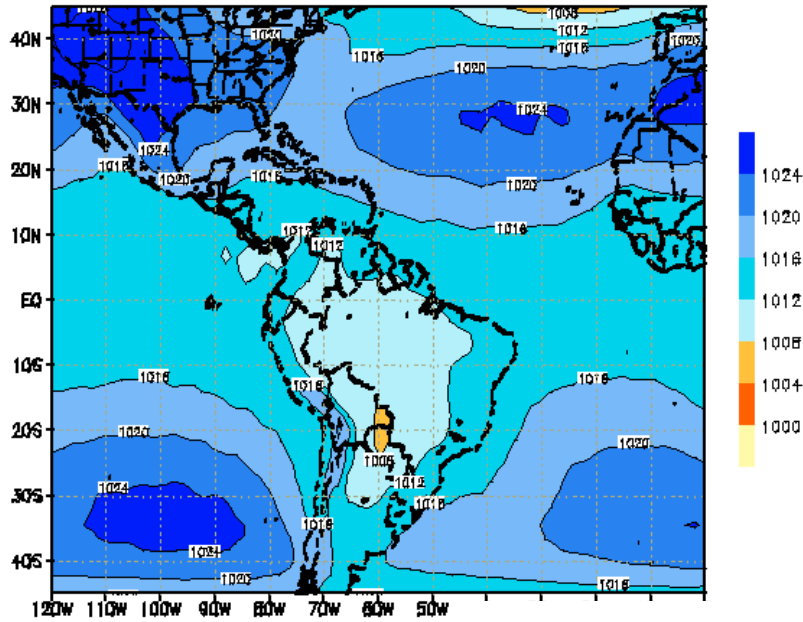


Wind 200 hPa JJA CLIM T62L28

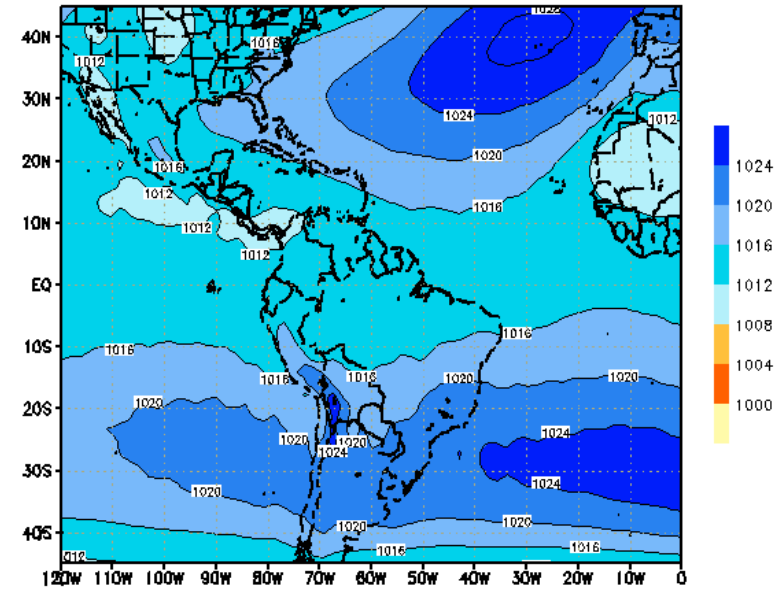


PRESSÃO AO NÍVEL DO MAR

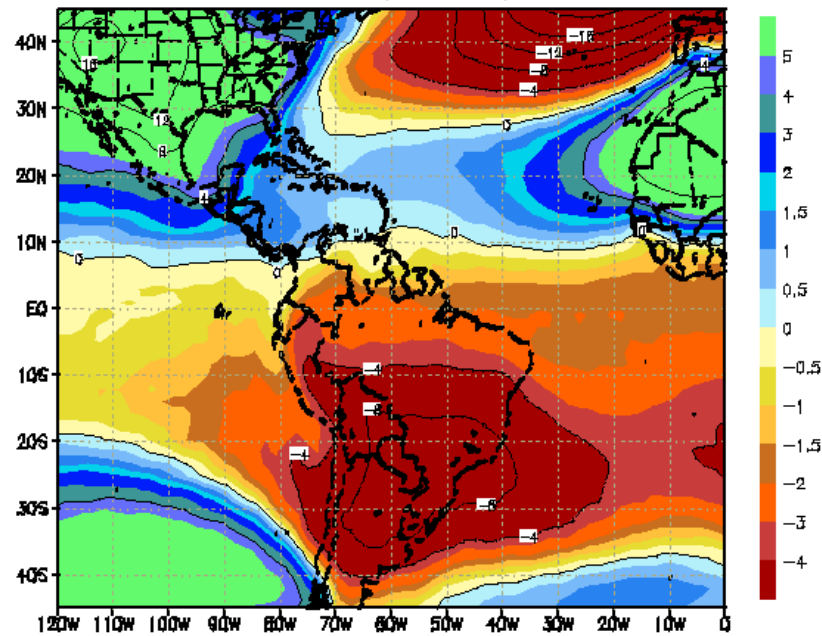
SLP CLIM DJF T62L28



SLP CLIM JJA T62L28



DIF. SLP CLIM (DJF-JJA) T62L28

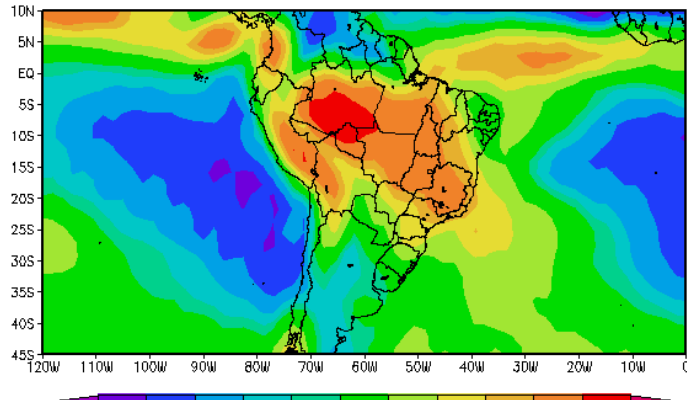


SIMULAÇÃO COM ESQUEMA DE CONVECÇÃO GRELL ENSEMBLE

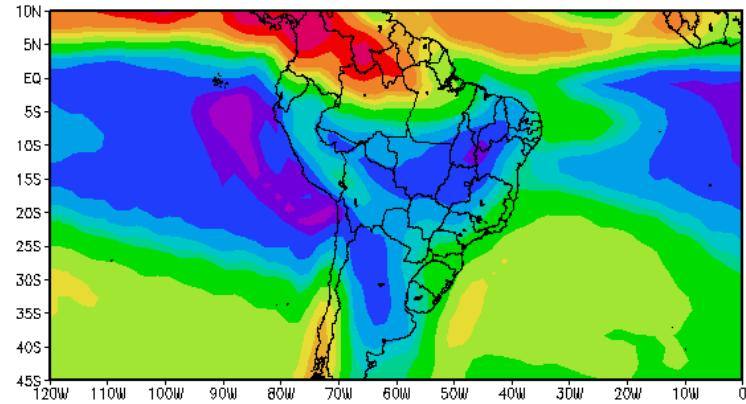
DJF

JJA

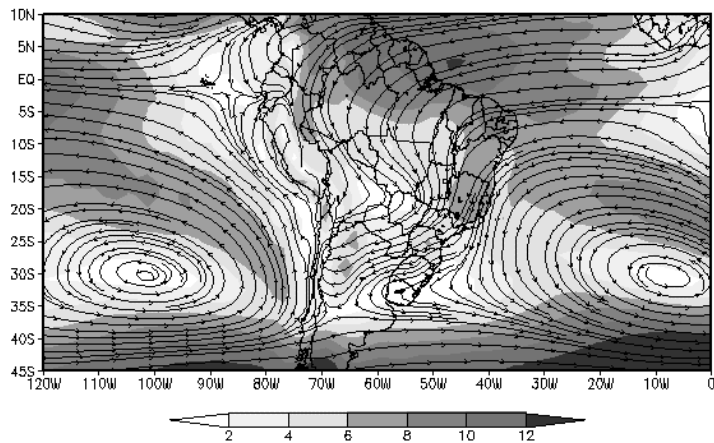
Precipitation (mm/day) – Grell Ensemble
10yr average, Dec–Jan–Feb



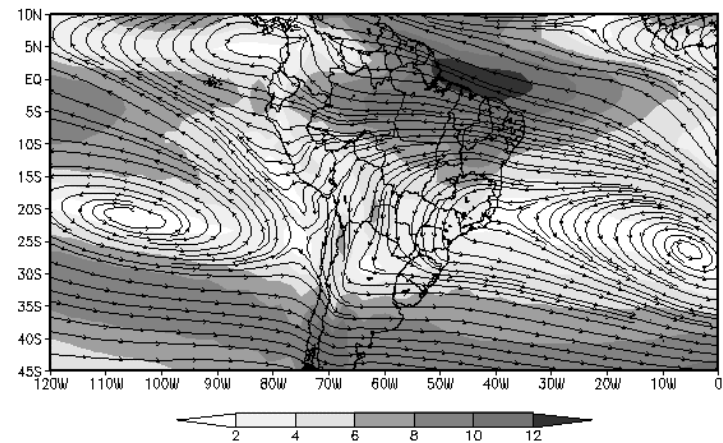
Precipitation (mm/day) – Grell Ensemble
10yr average, Jun–Jul–Aug



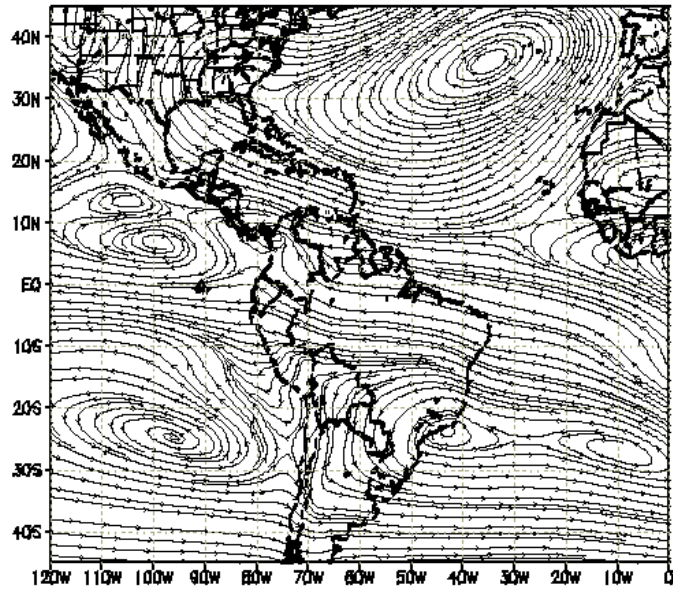
Wind 850mb (m/s) – Grell Ensemble
10yr average, Dec–Jan–Feb



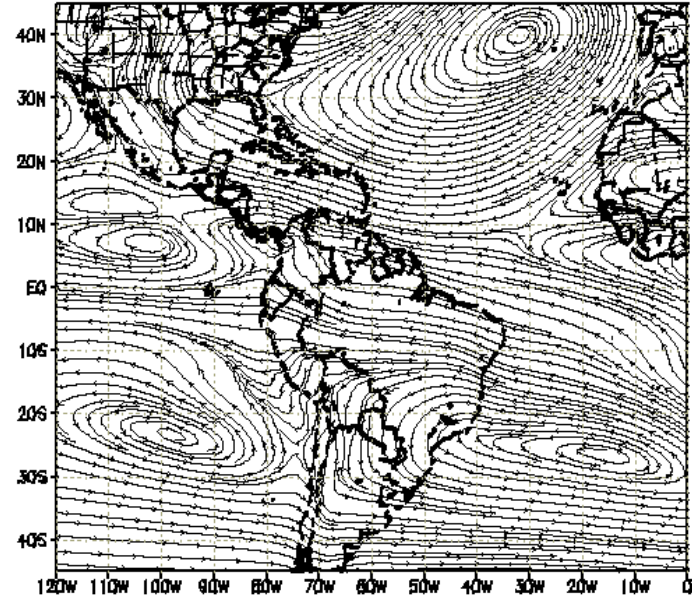
Wind 850mb (m/s) – Grell Ensemble
10yr average, Jun–Jul–Aug



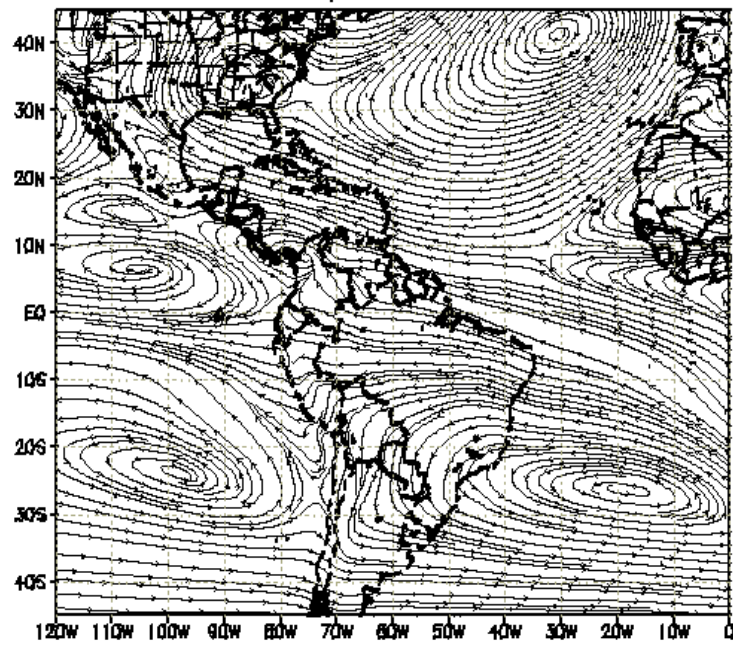
WIND 850 hpa JUN CLI. T62L28



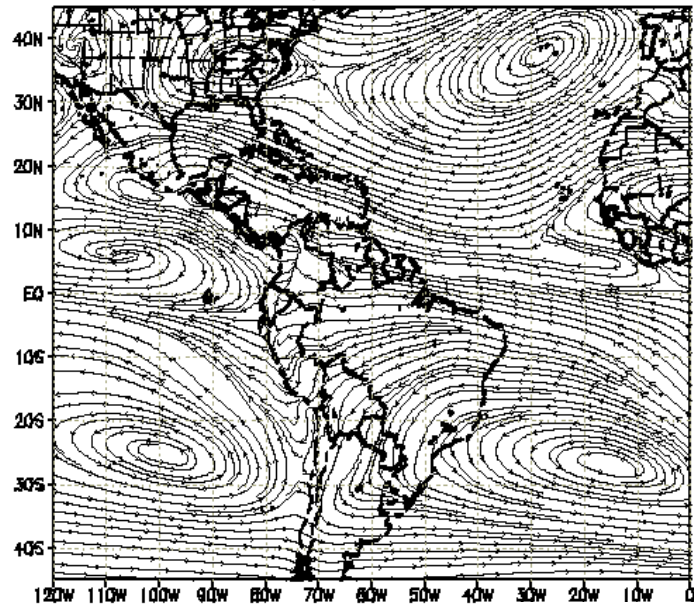
WIND 850 hpa JUL CLI. T62L28



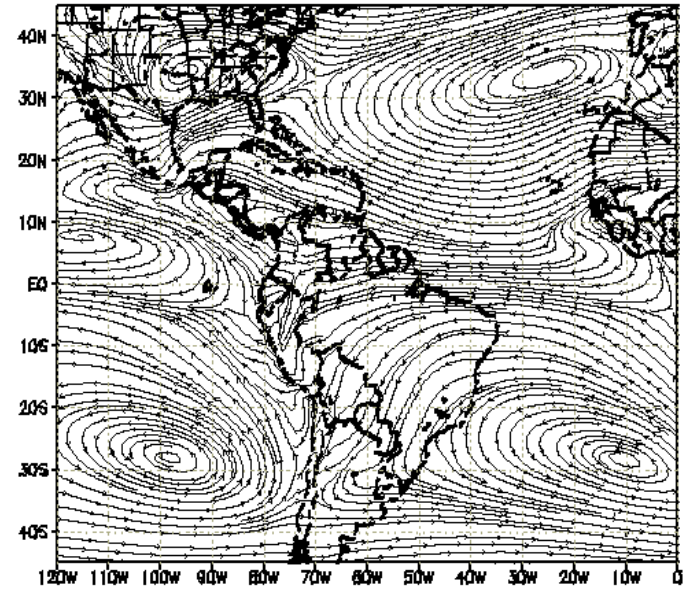
WIND 850 hpa AUG CLI. T62L28



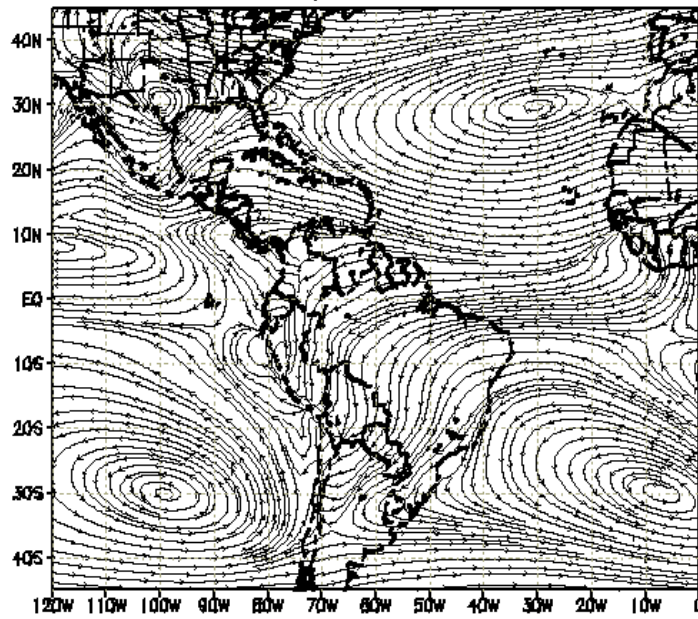
WIND 850 hpa SEP CLI. T62L28



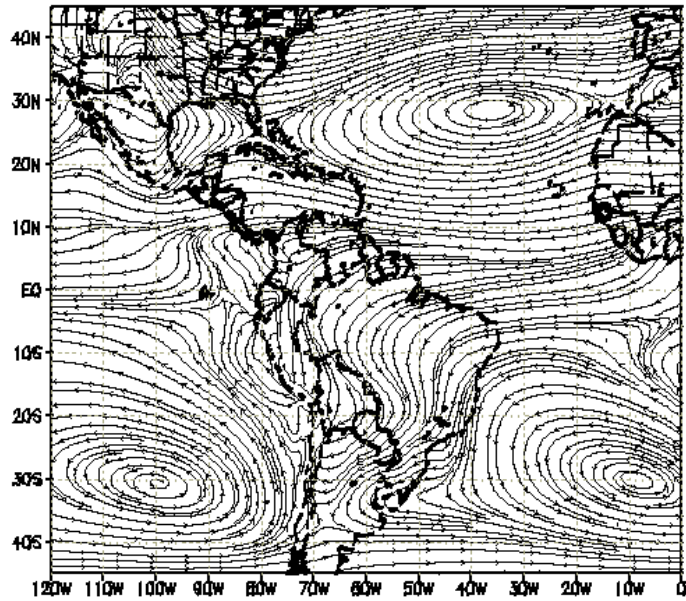
WIND 850 hpa OCT CLI. T62L28



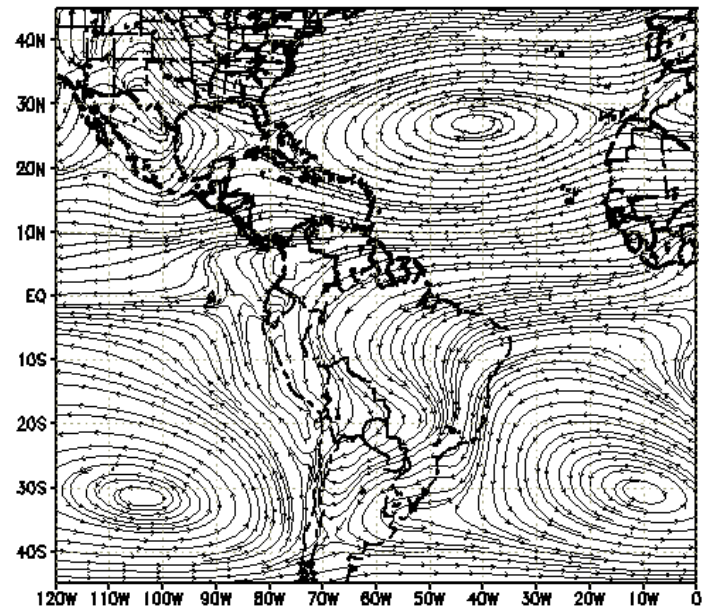
WIND 850 hpa NOV CLI. T62L28



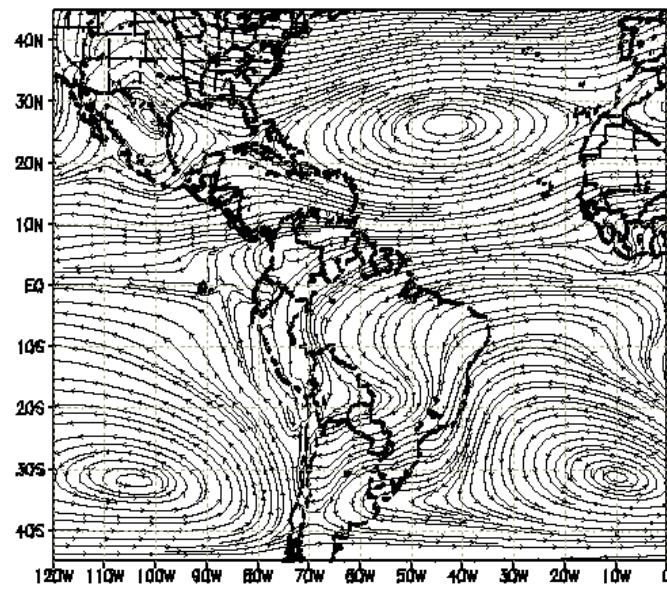
WIND 850 hPa DEC CLI, T62L28



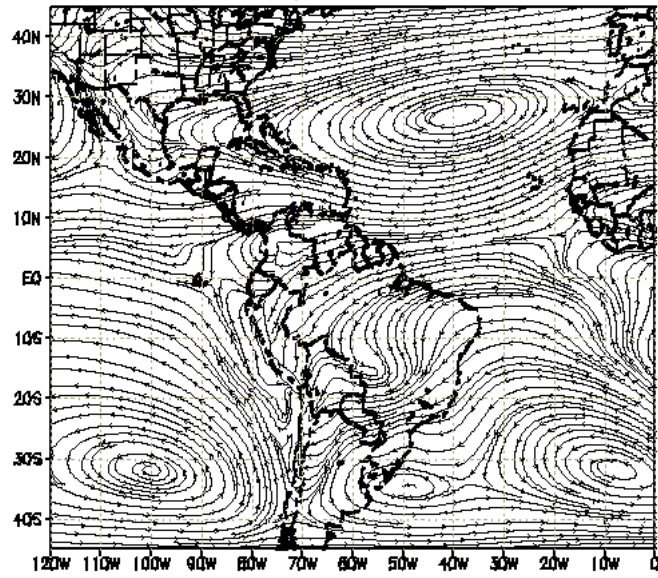
WIND 850 hPa JAN CLI T62L28



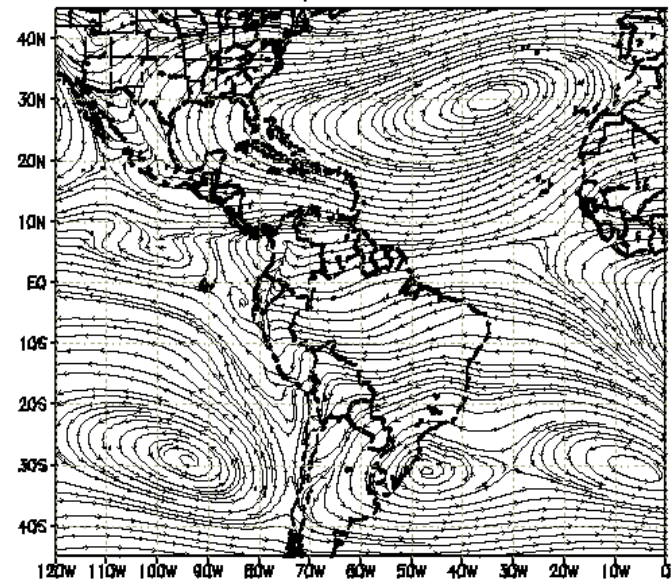
WIND 850 hPa FEB CLI, T62L28



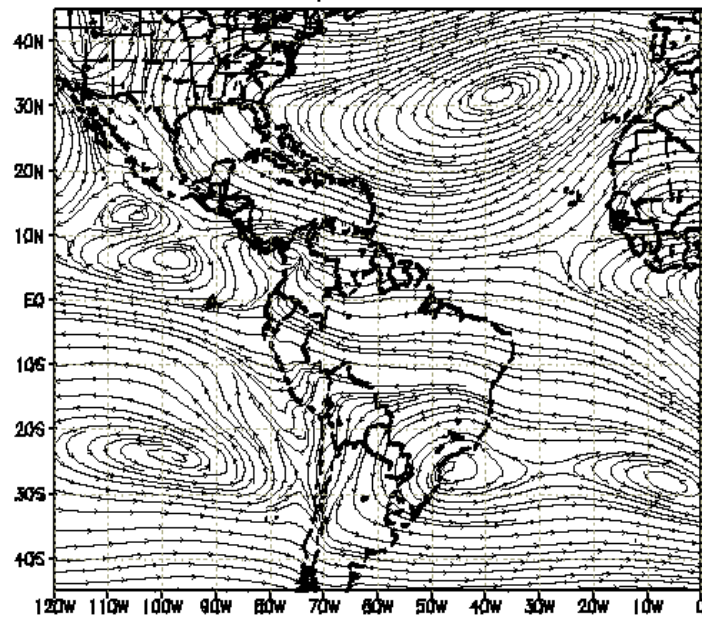
WIND 850 hpa MAR CLI. T62L28



WIND 850 hpa APR CLI. T62L28



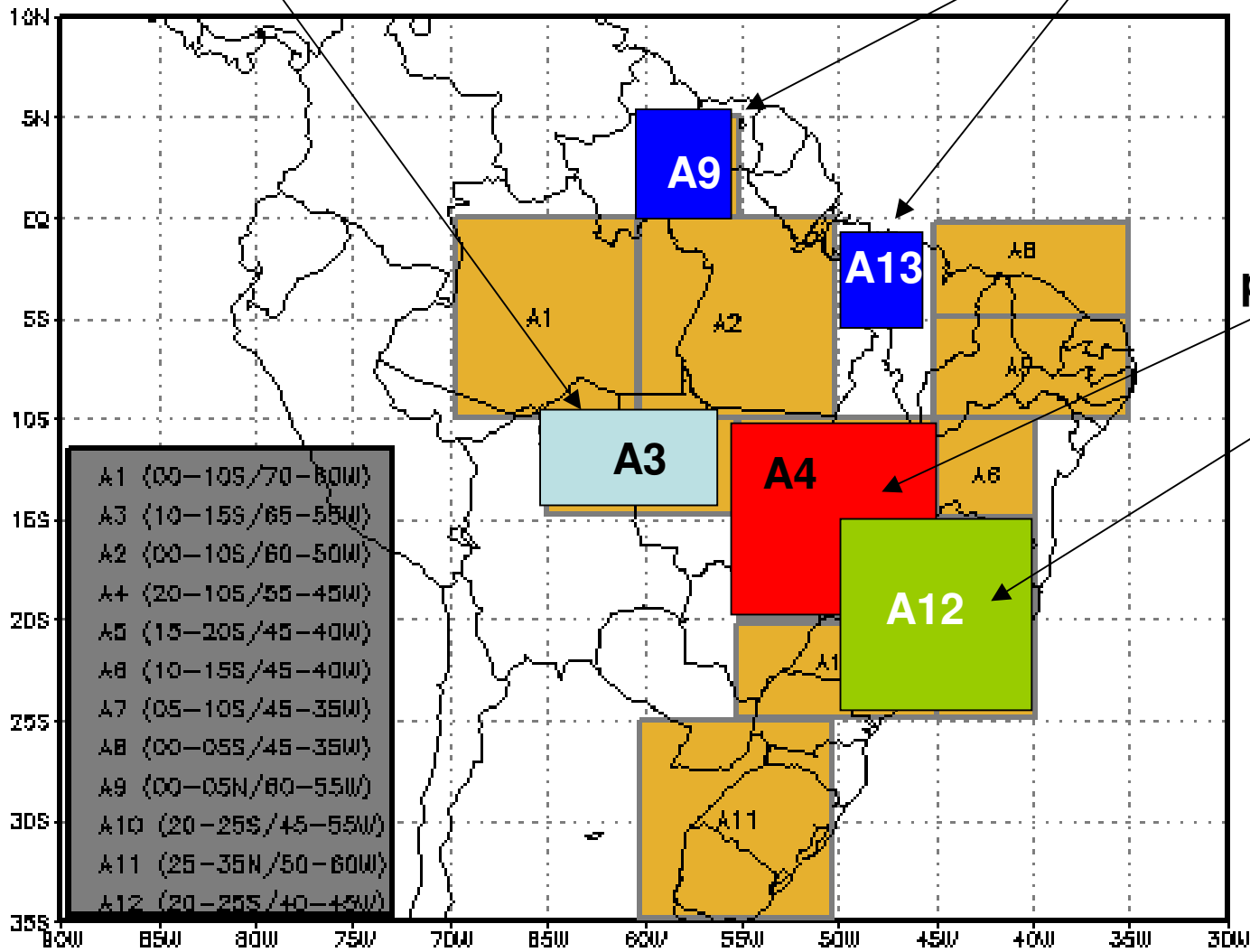
WIND 850 hpa MAY CLI. T62L28



Vento zonal

Vento meridional

AREAS DE ESTUDO



A1	(00-10S/70-80W)
A3	(10-15S/65-55W)
A2	(00-10S/60-50W)
A4	(20-10S/55-45W)
A5	(15-20S/45-40W)
A6	(10-15S/45-40W)
A7	(05-10S/45-35W)
A8	(00-05S/45-35W)
A9	(00-05N/60-55W)
A10	(20-25S/45-55W)
A11	(25-35S/50-60W)
A12	(20-25S/40-45W)

precipitação

1980

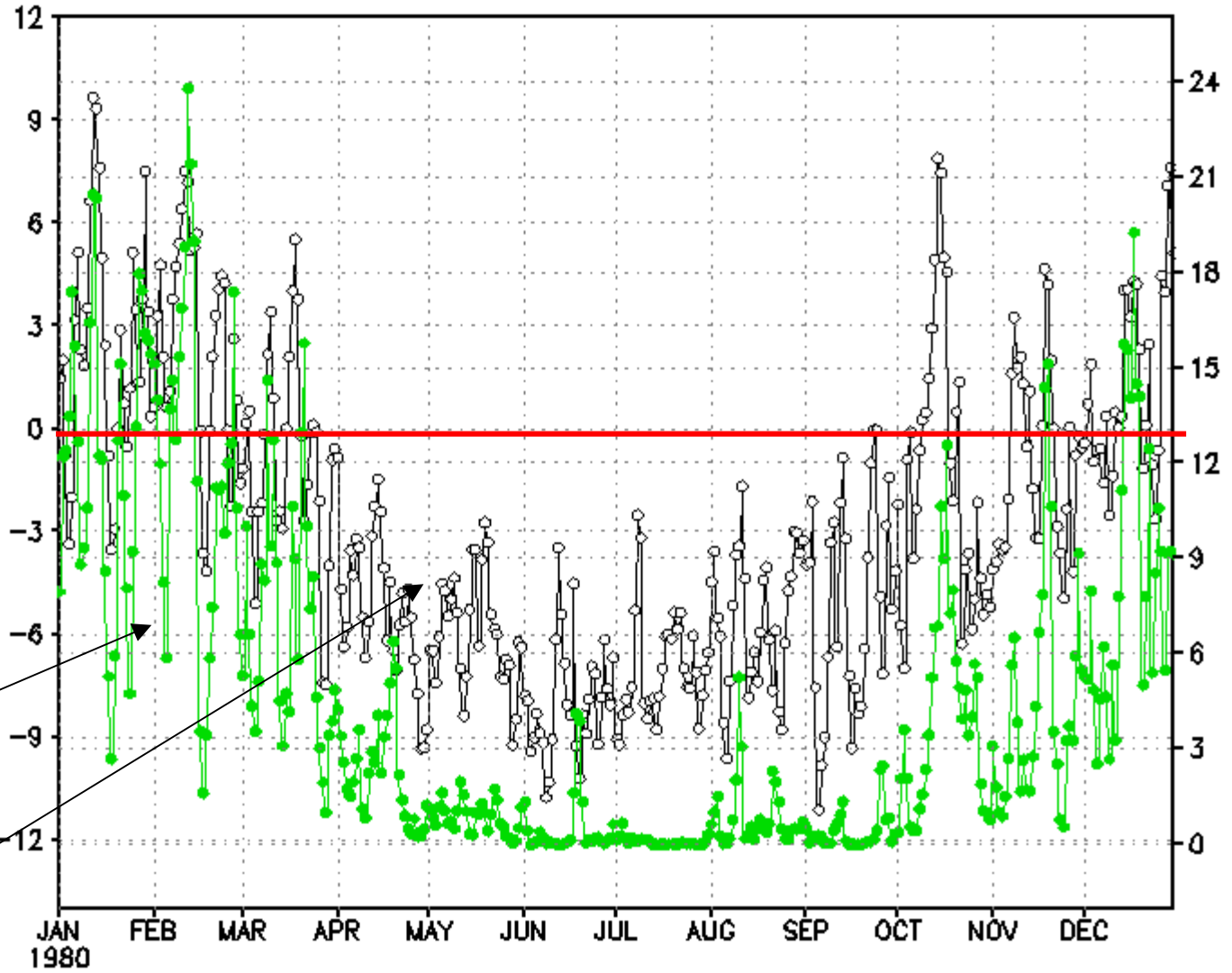
PREC A4 U A3

P

U

A4
55-45W
20-10S

A3
65-55W
10-15S

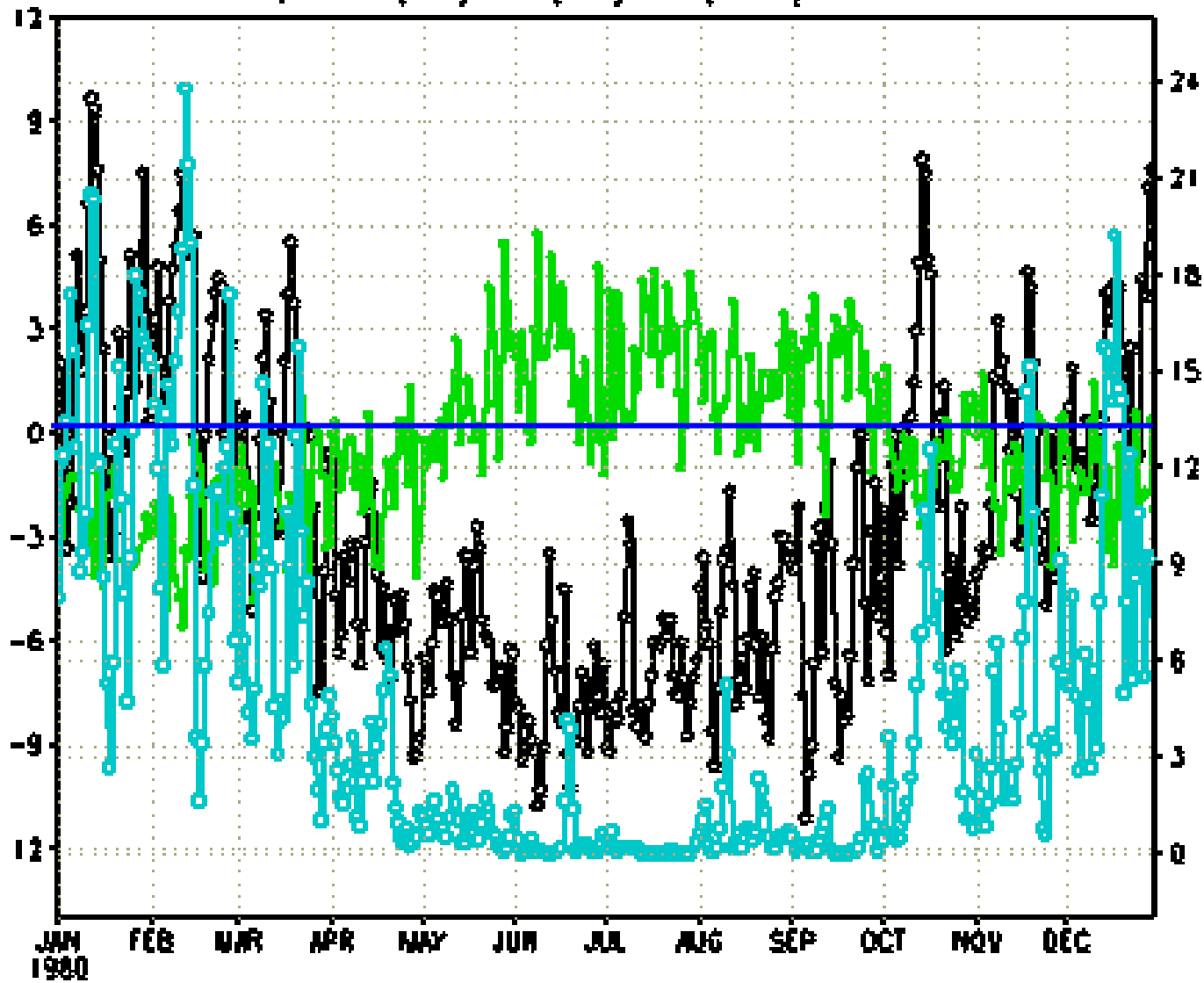


chuva

Vento zonal

1980

prec (A4) u (A3) v (A13) 1980

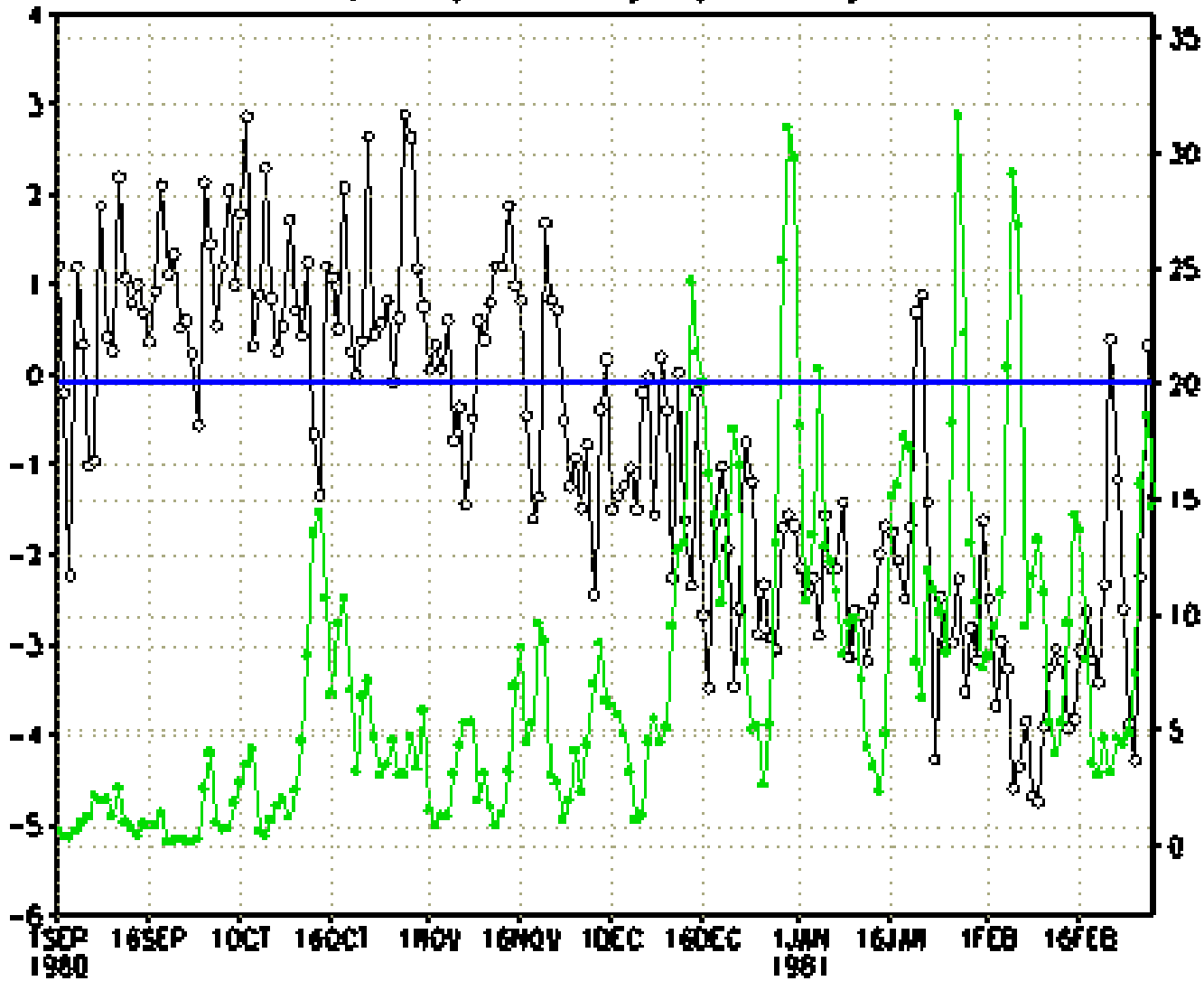


1980

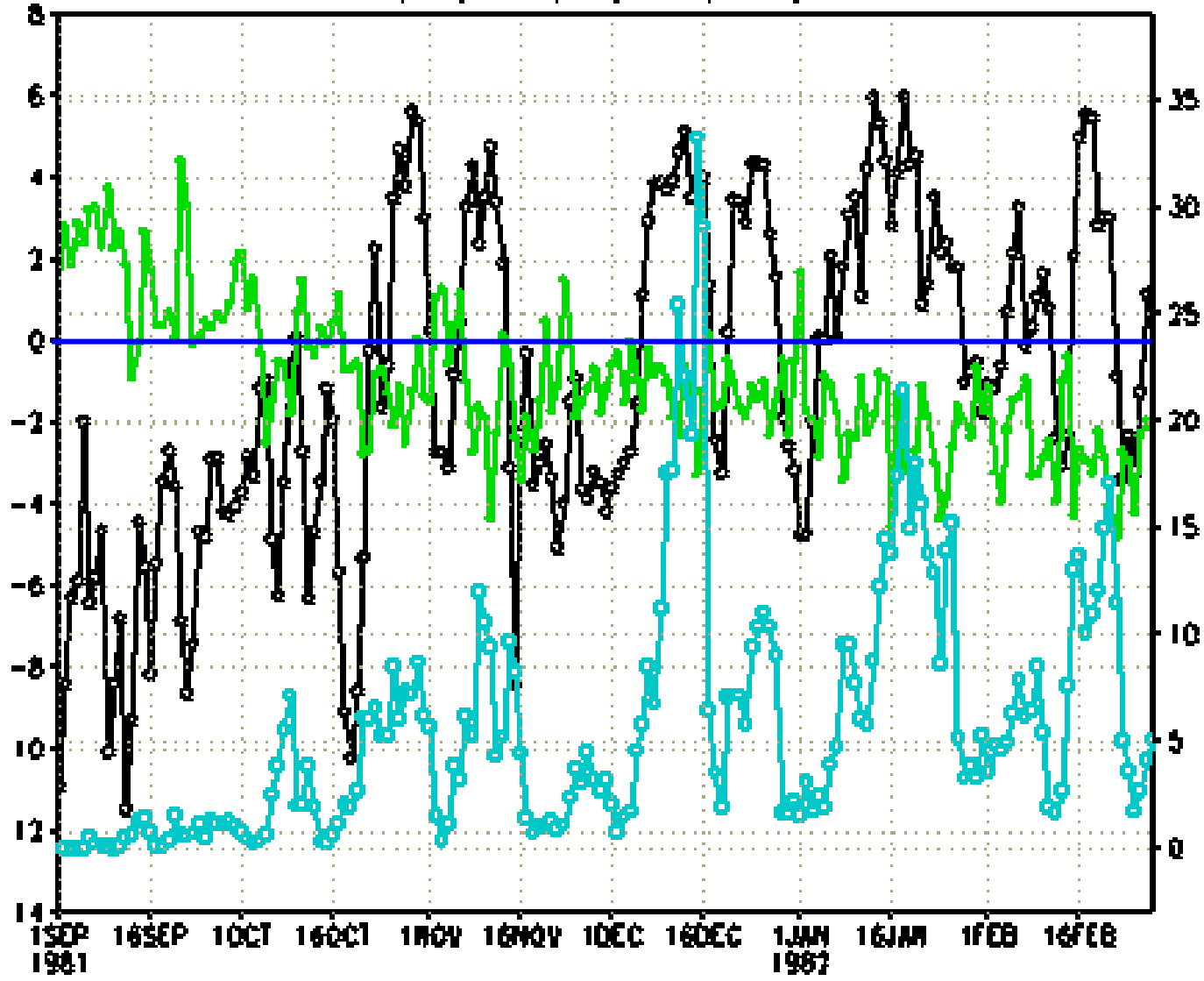
preci(area 12) v(area 9)

A12
50-40W
15-25S

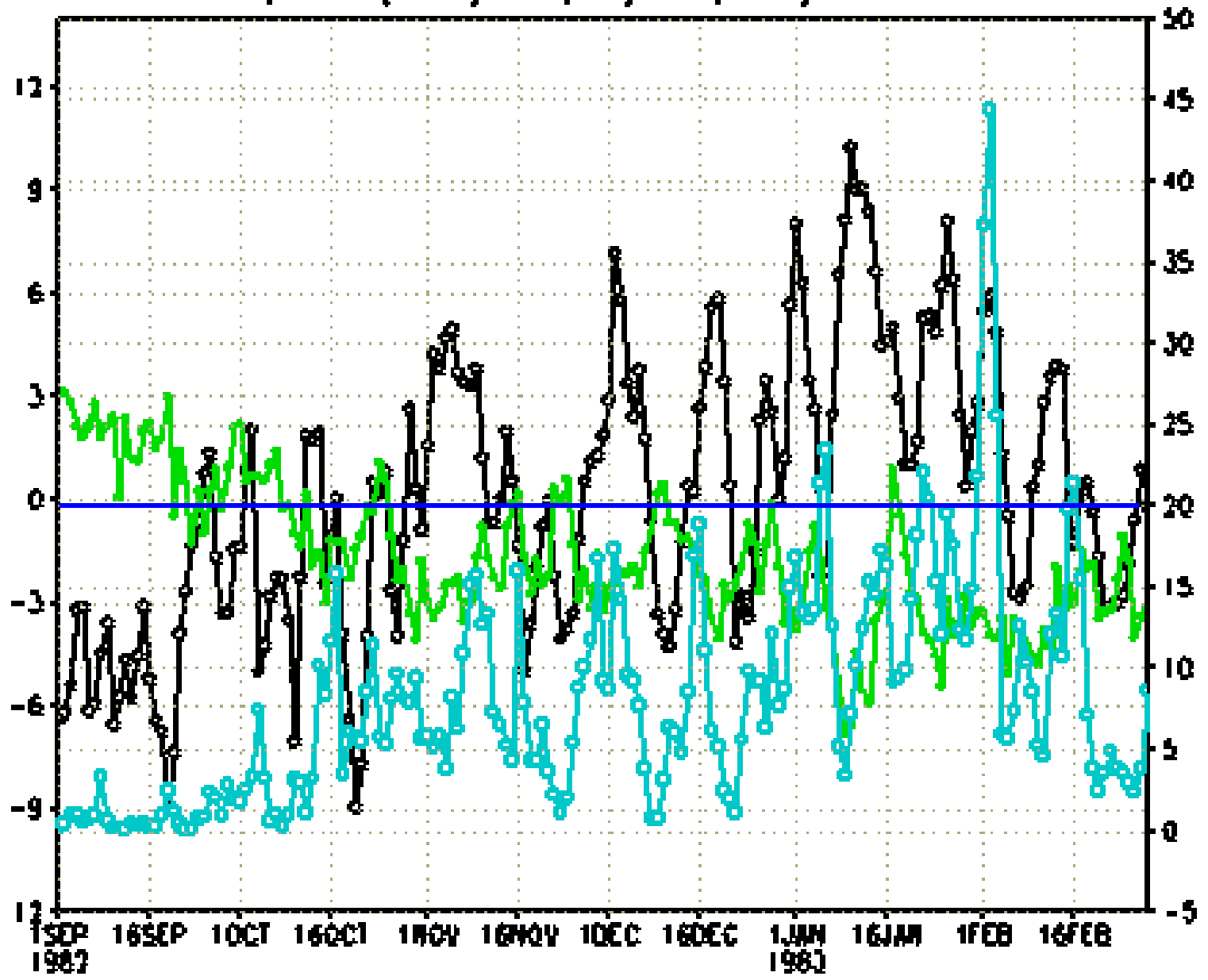
A9
65-55W
0-5N



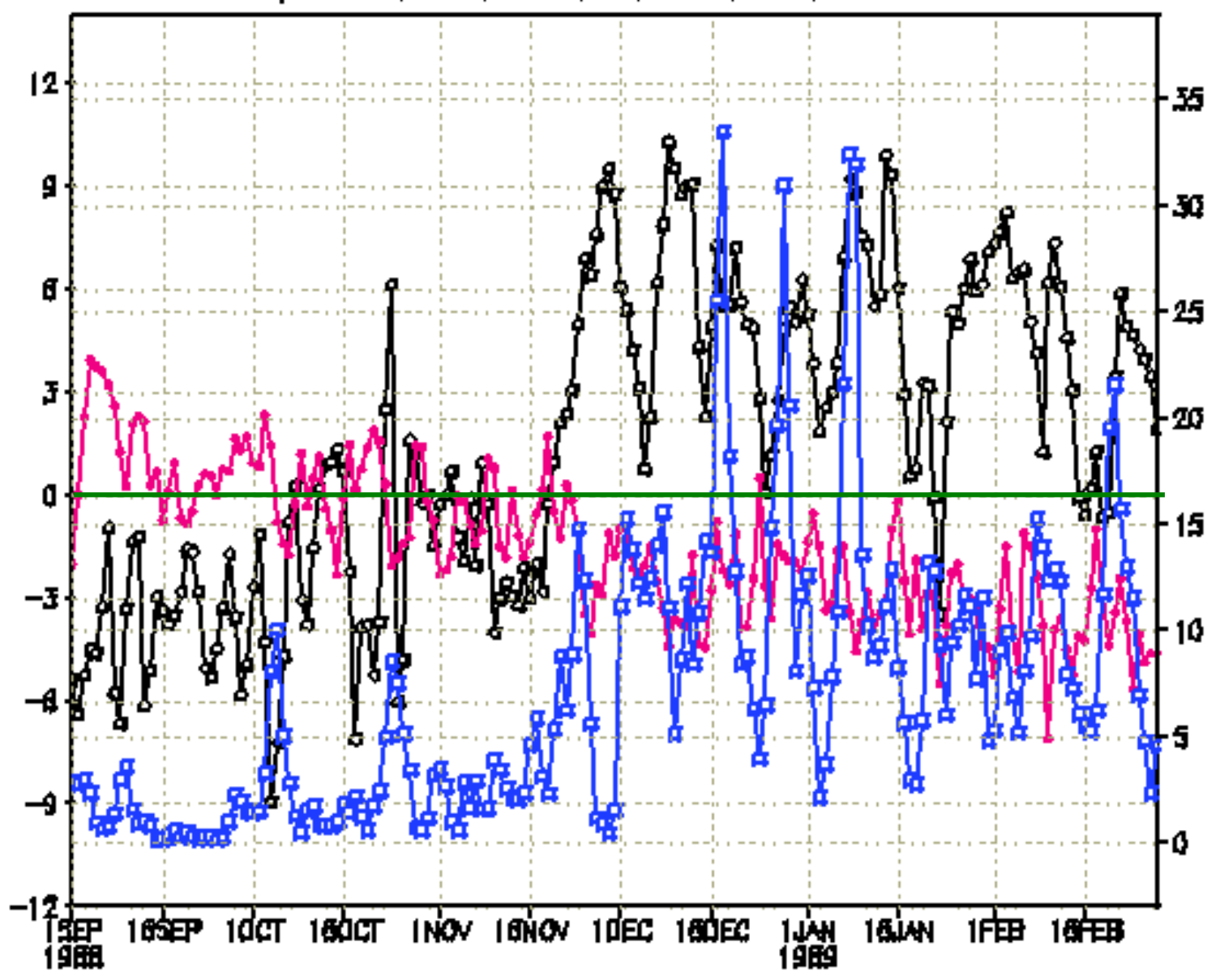
prec (A4) u (A3) v (A13) 1981



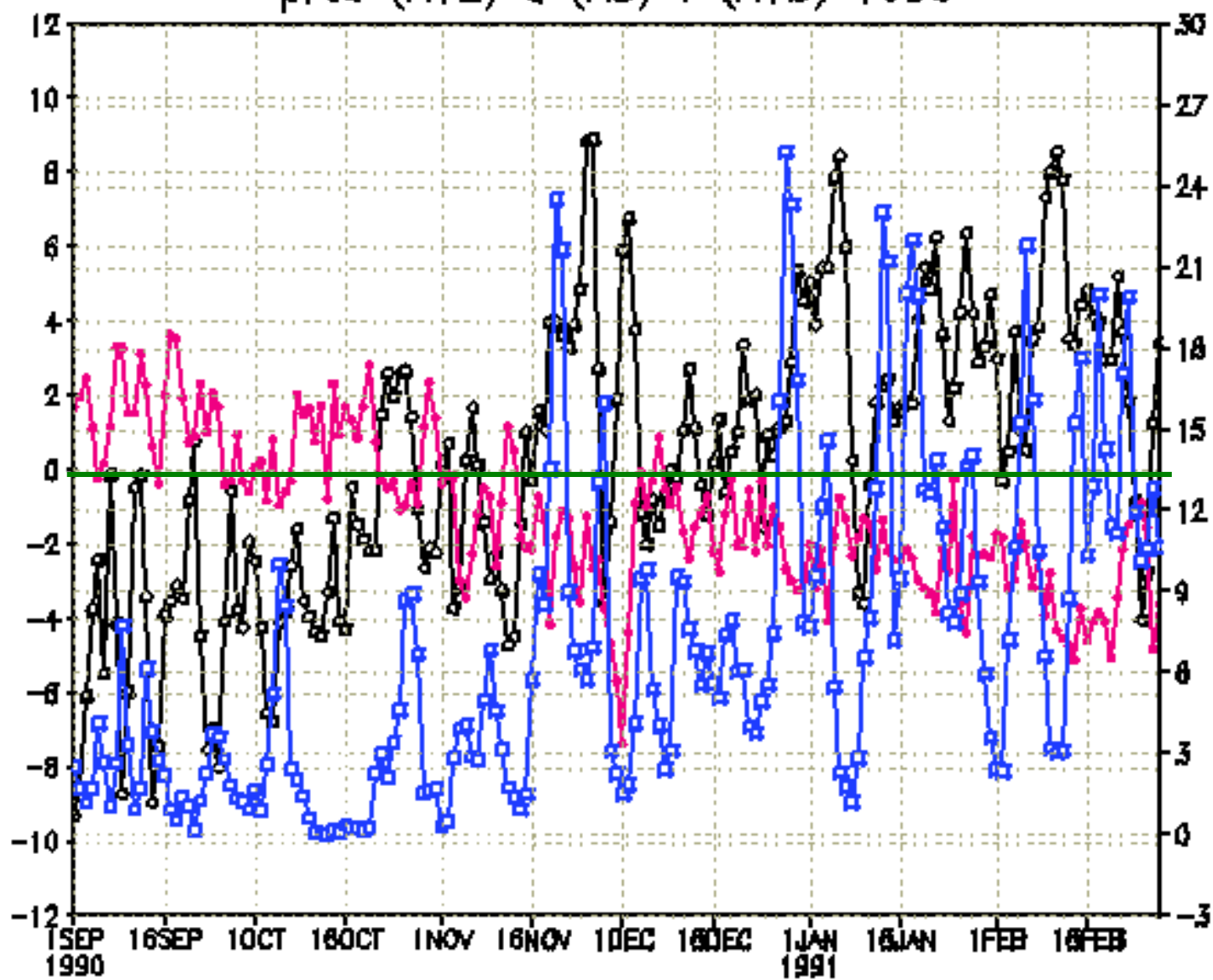
prec (A12) u (A3) v (A13) 1982



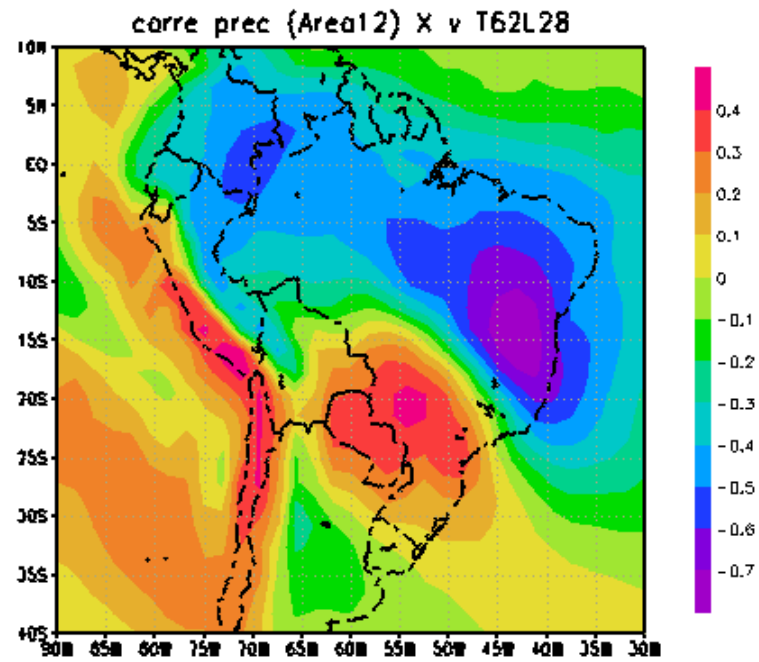
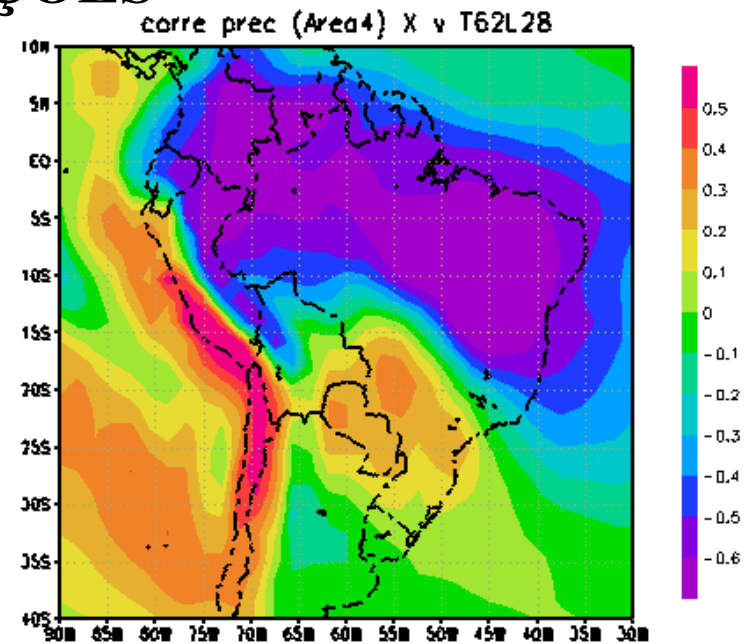
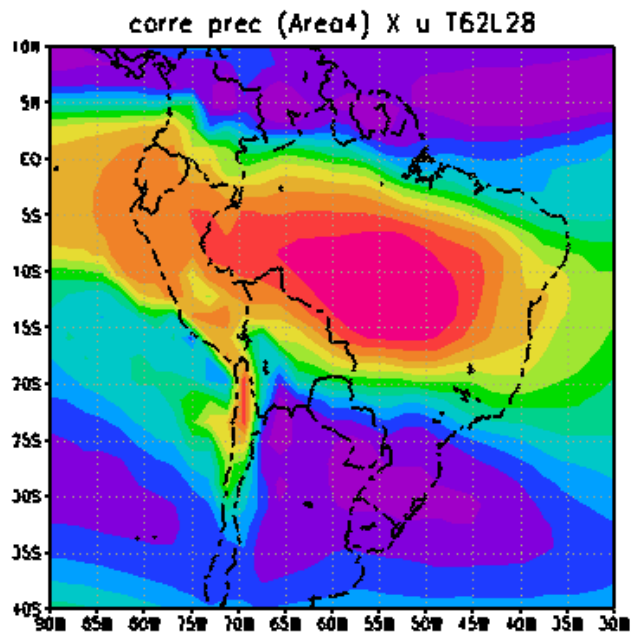
prec (A12) u (A3) v (A13) 1988



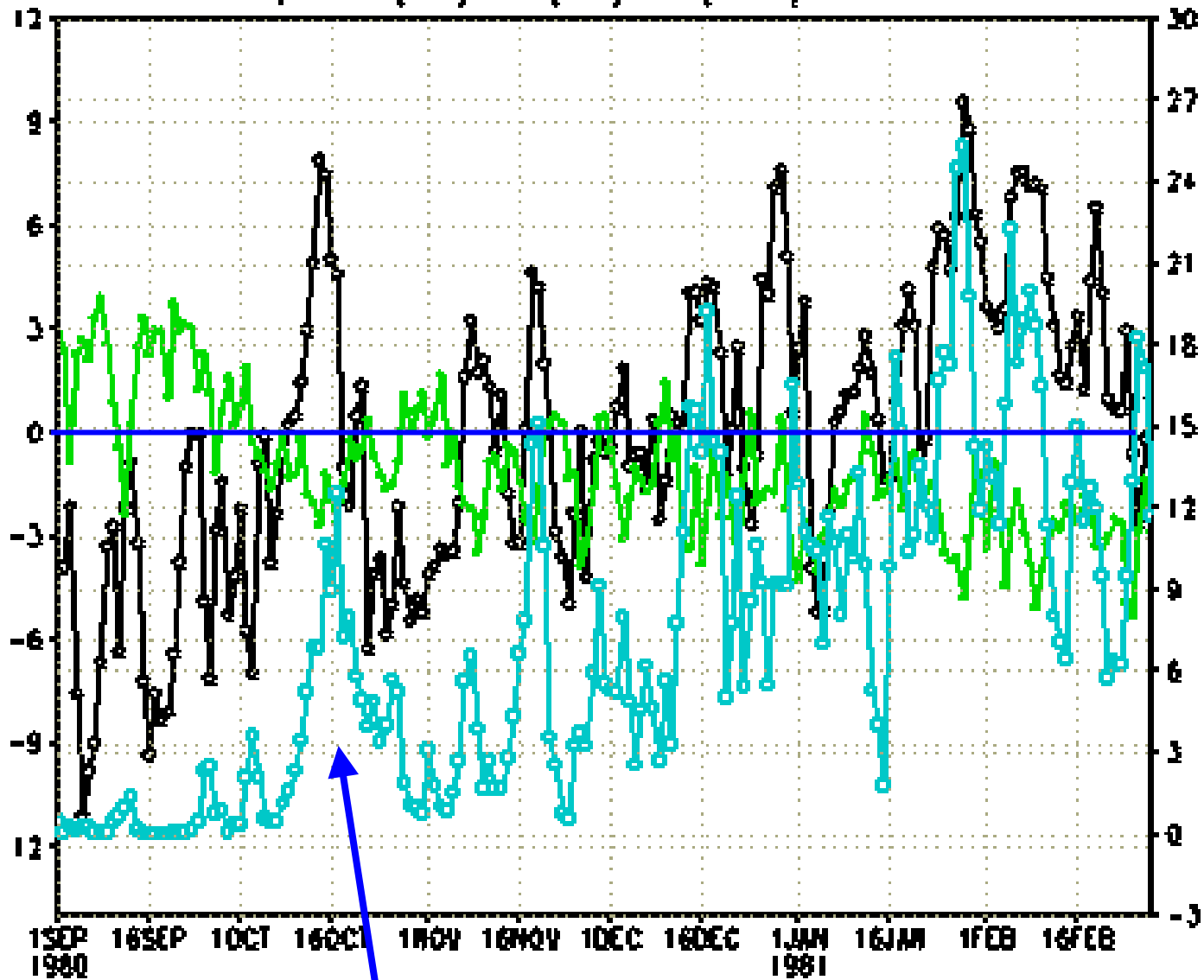
prec (A12) u (A3) v (A13) 1990



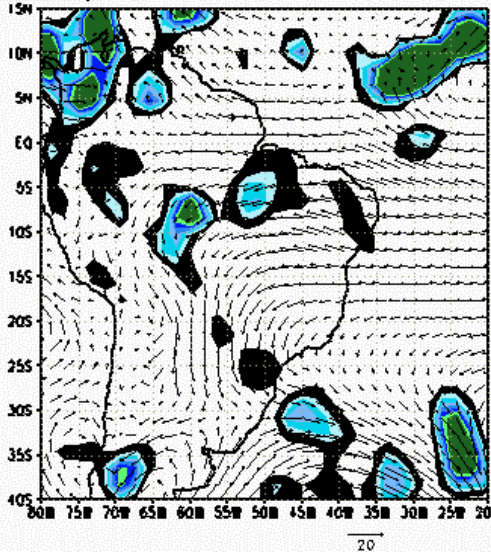
CORRELAÇÕES



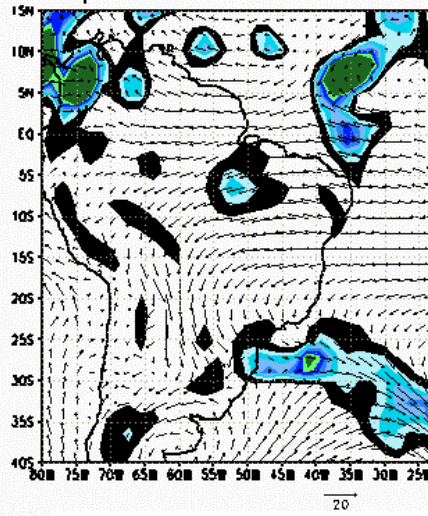
prec (A4) u (A3) v (A13) 1980



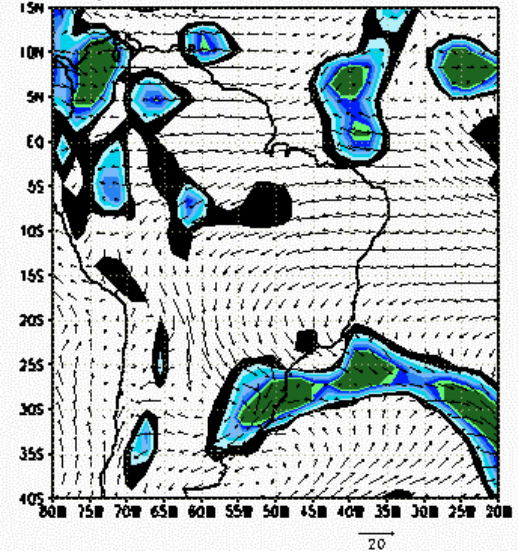
prec wind 850 hPa 5 oct 1980



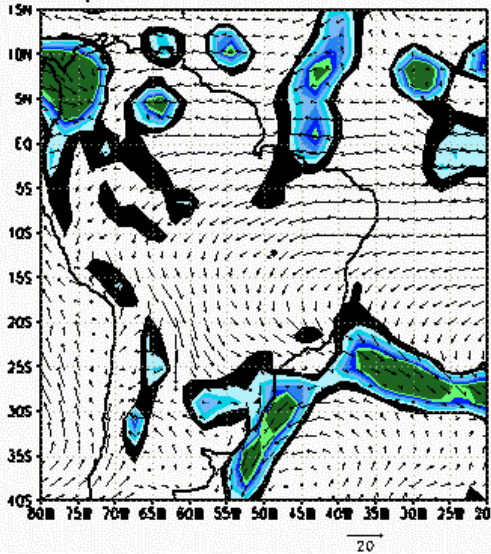
prec wind 850 hPa 6 oct 1980



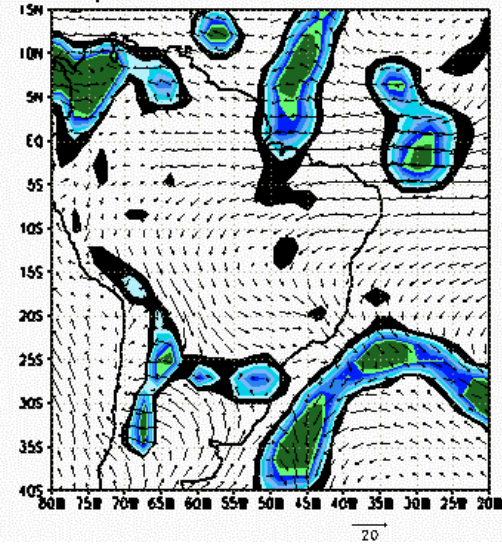
prec wind 850 hPa 7 oct 1980



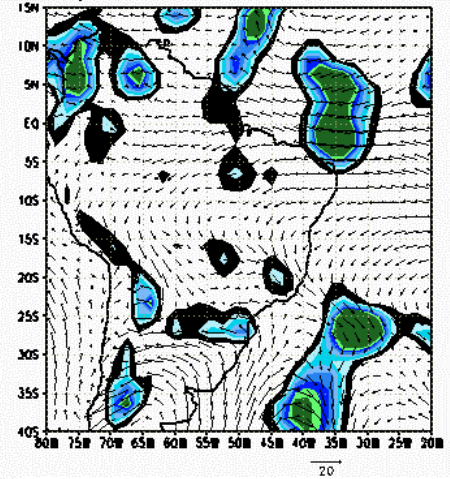
prec wind 850 hPa 8 oct 1980



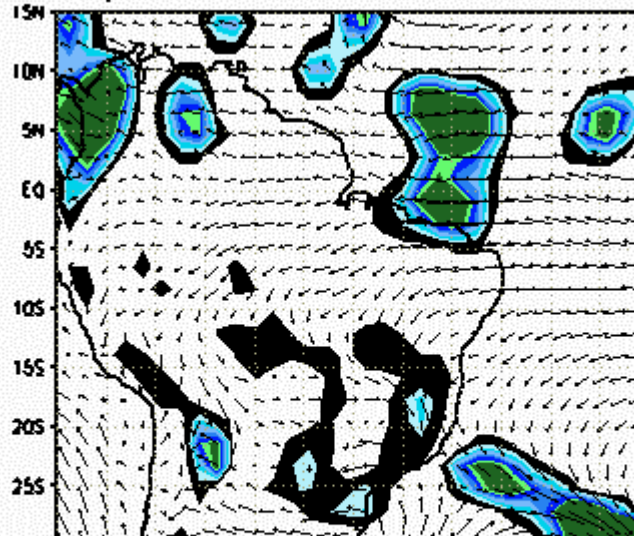
prec wind 850 hPa 9 oct 1980



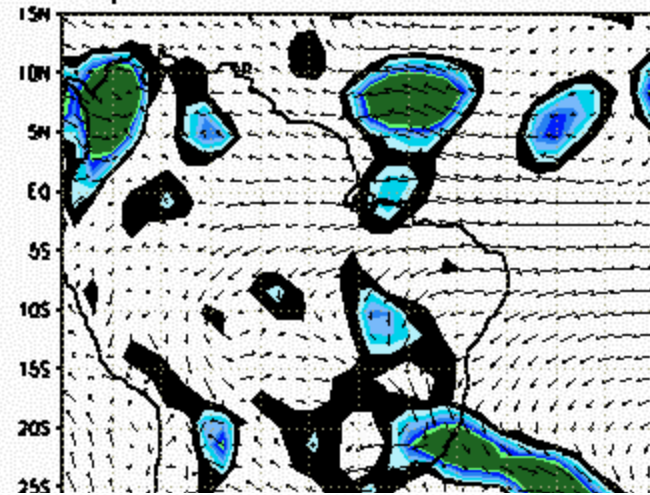
prec wind 850 hPa 10 oct 1980



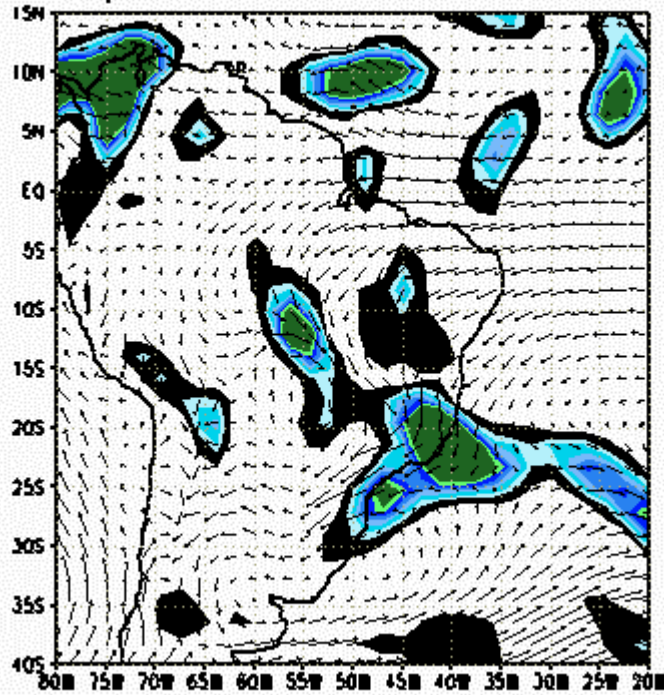
prec wind 850 hPa 11 oct 1980



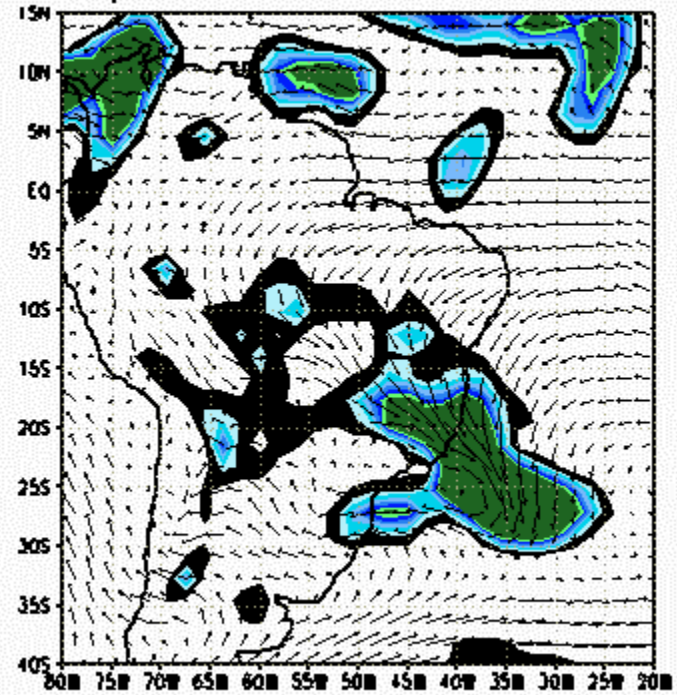
prec wind 850 hPa 12 oct 1980



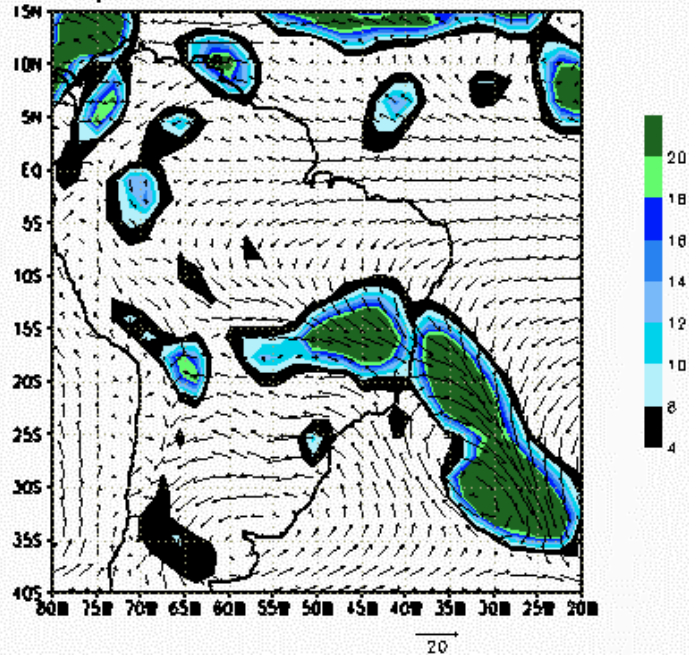
prec wind 850 hPa 13 oct 1980



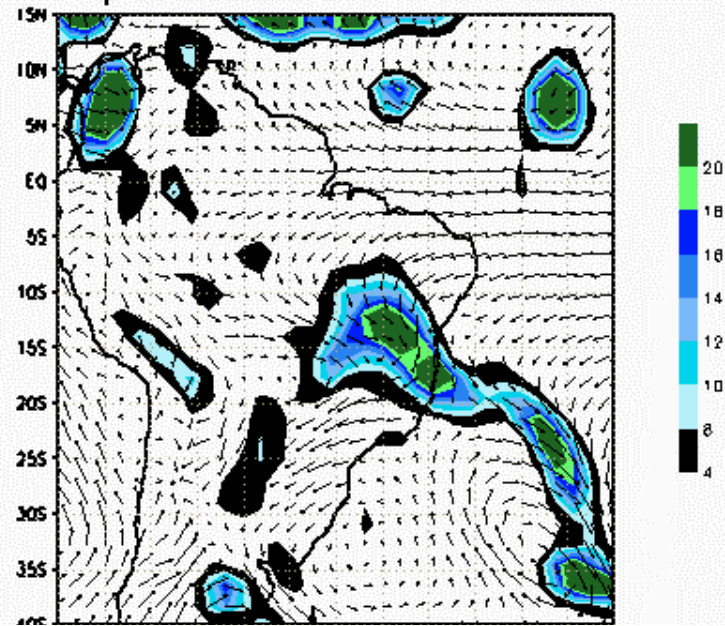
prec wind 850 hPa 14 oct 1980



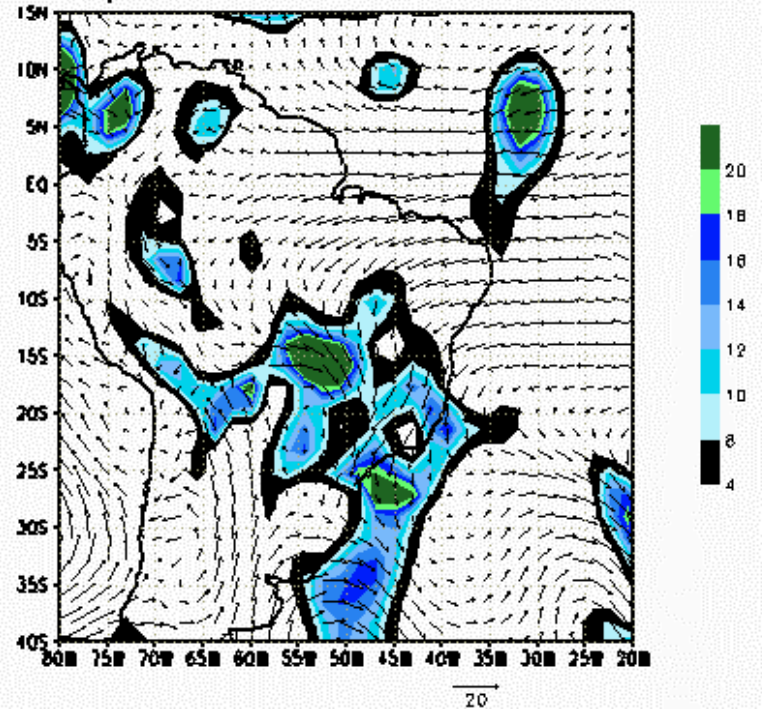
prec wind 850 hPa 15 oct 1980



prec wind 850 hPa 16 oct 1980



prec wind 850 hPa 17 oct 1980



PÊNTADAS

- REANÁLISE MODELO
- I F I F
- **KOUSKY** 52 17 59 16
(10-20S;60-50W)

52	17	59	16
----	----	----	----

52: 13-17 SETEMBRO

59: 18-22 OUTUBRO

Futuras análises

- Analisar os resultados da previsão sazonal
- Introduzir um fator de correção entre o observado e o previsto.
- Índice considerando o vento meridional na área 13 e 9, além do vento zonal na área 3, nos resultados da previsão sazonal